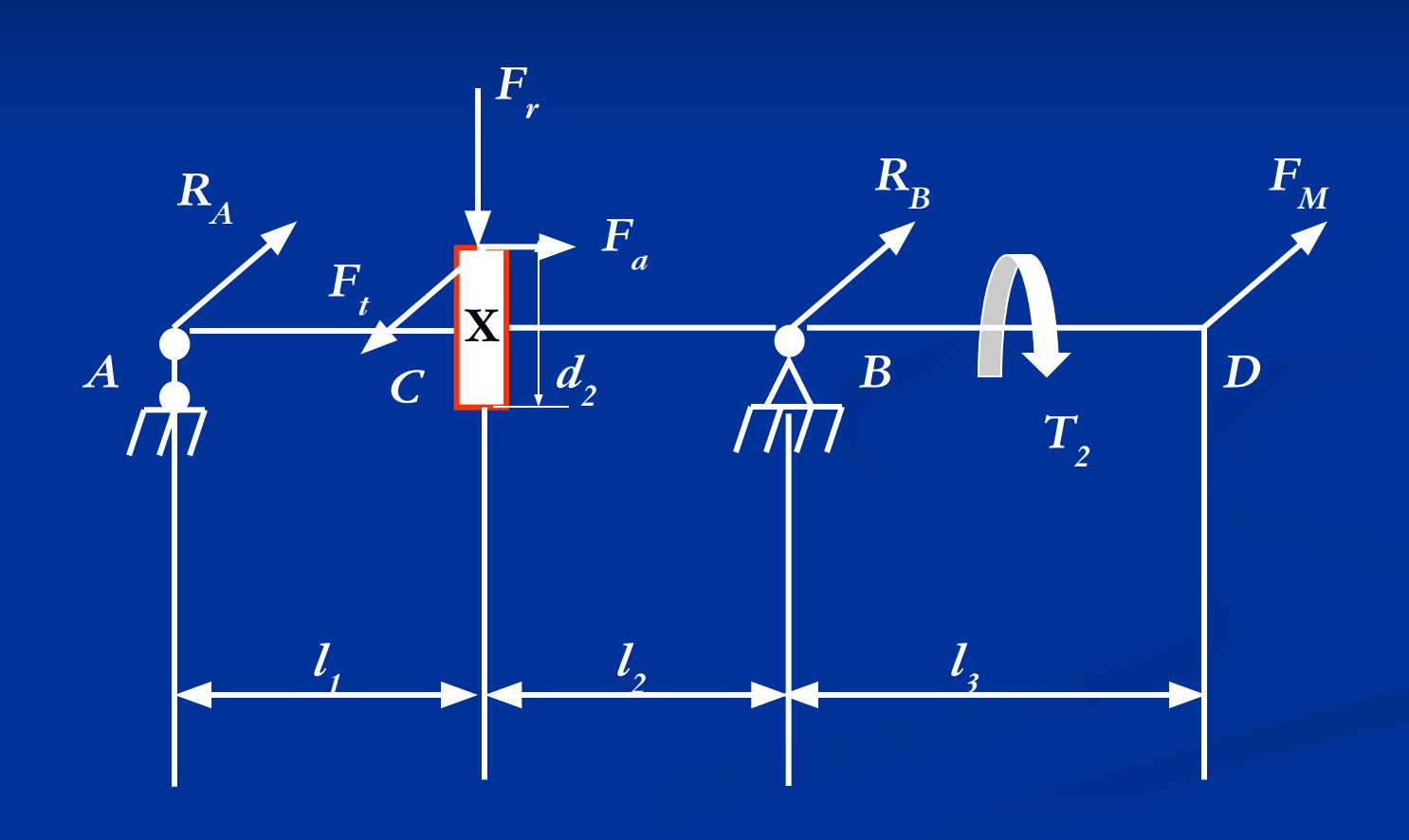
Домашнее задание по курсу «Детали машин» №4

«Проверочный расчет тихоходного вала редуктора»

1. Расчет силовых нагрузок на вал и построение эпюр изгибающих моментов и крутящего момента:

1.1. Расчет силовых нагрузок:

1.1.1. Расчетная схема вала редуктора:



1.1.2. Тангенциальная сила, н:

$$F_t = \frac{2 \cdot T_2}{d_2} = \frac{2 \cdot 1000 \cdot T_2}{d_2}$$

1.1.3. Радиальная сила, н:

$$F_r = \frac{F_t \cdot tg \,\alpha}{\cos \,\beta}$$

$$\alpha = 20$$
° -угол зацепления; $tg \alpha = 0$, 364

 β угол наклона зубьев.

 $cos\beta = cos0 = 1$ для прямозубой передачи.

1.1.4. Осевая сила, н:

$$F_a = F_t \cdot tg \boldsymbol{\beta}$$

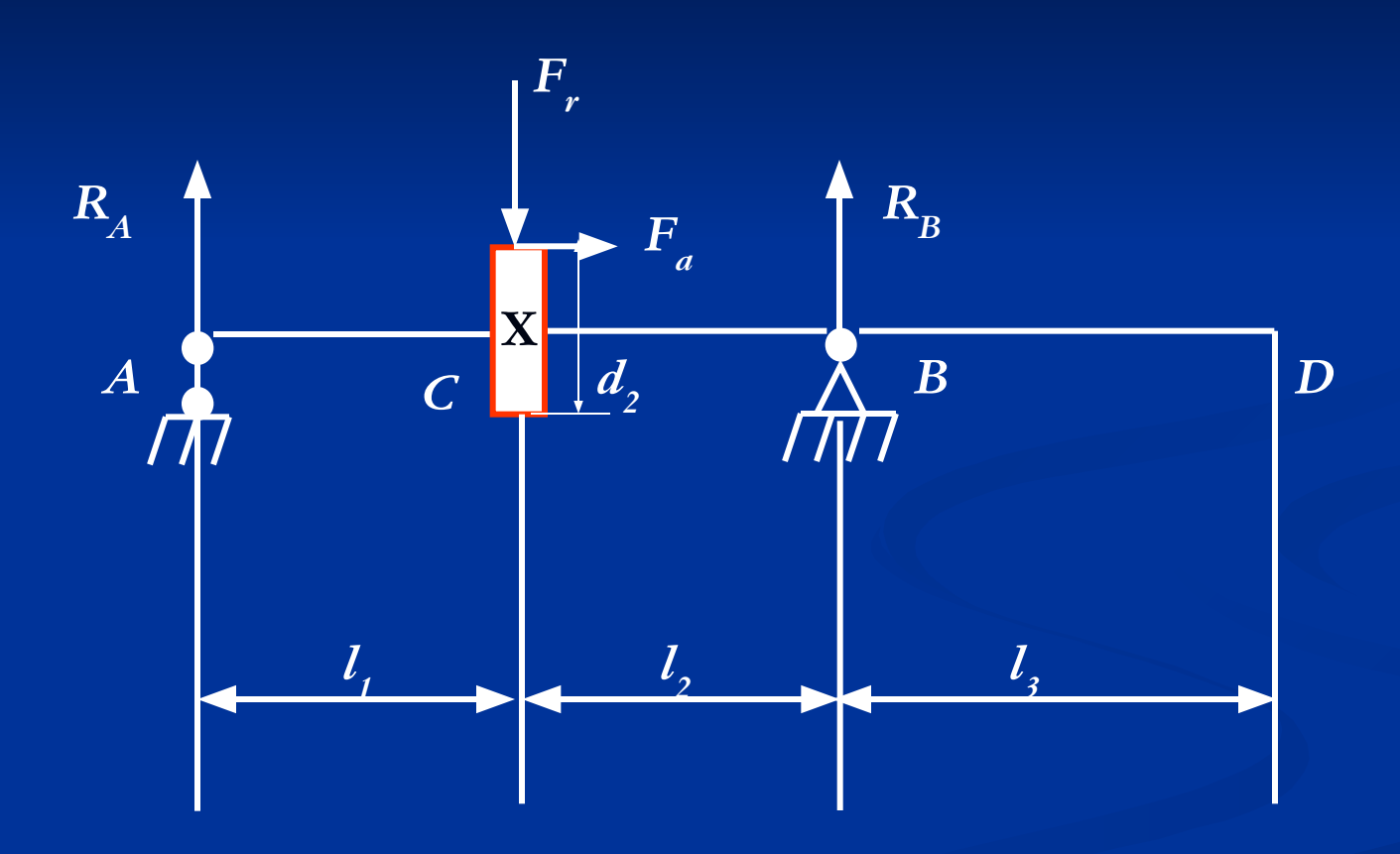
 $tg\beta=tg0=0$, поэтому при прямозубом зацеплении осевая сила отсутствует.

1.1.5. Сила реакции в муфте, н:

$$F_{\scriptscriptstyle \mathcal{M}} = 0$$
, 3 · $F_{\scriptscriptstyle t}$

1.2. Построение эпюр изгибающих моментов и крутящего момента:

1.2.1. Построение эпюр изгибающих моментов в вертикальной плоскости:



Определение опорных реакций от радиальной F_{r} и осевой F_{d} сил:

$$\sum M_{B} = 0;$$

$$R_{ay} \cdot (l_{1} + l_{2}) - F_{r} \cdot l_{2} + F_{a} \cdot \frac{d_{2}}{2} = 0;$$

$$R_{ay} = \frac{F_{r} \cdot l_{2} - F_{a} \cdot \frac{d_{2}}{2}}{(l_{1} + l_{2})}, n;$$

$$\sum M_{A} = 0;$$

$$R_{by} \cdot (l_{1} + l_{2}) - F_{r} \cdot l_{1} - F_{a} \cdot \frac{d_{2}}{2} = 0;$$

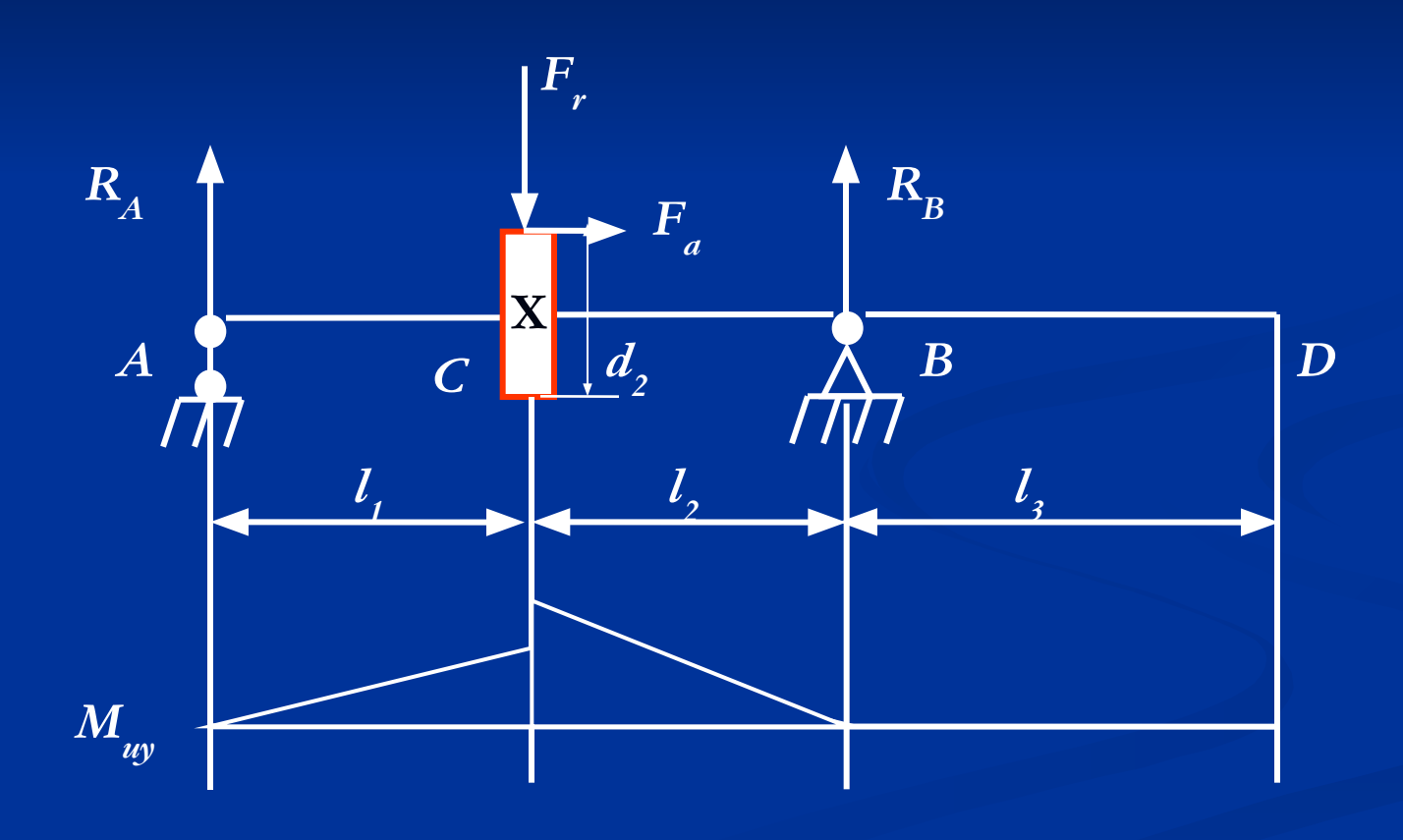
$$R_{by} = \frac{F_{r} \cdot l_{1} + F_{a} \cdot \frac{d_{2}}{2}}{(l_{1} + l_{2})}, n.$$

Проверяем правильность определения реакций:

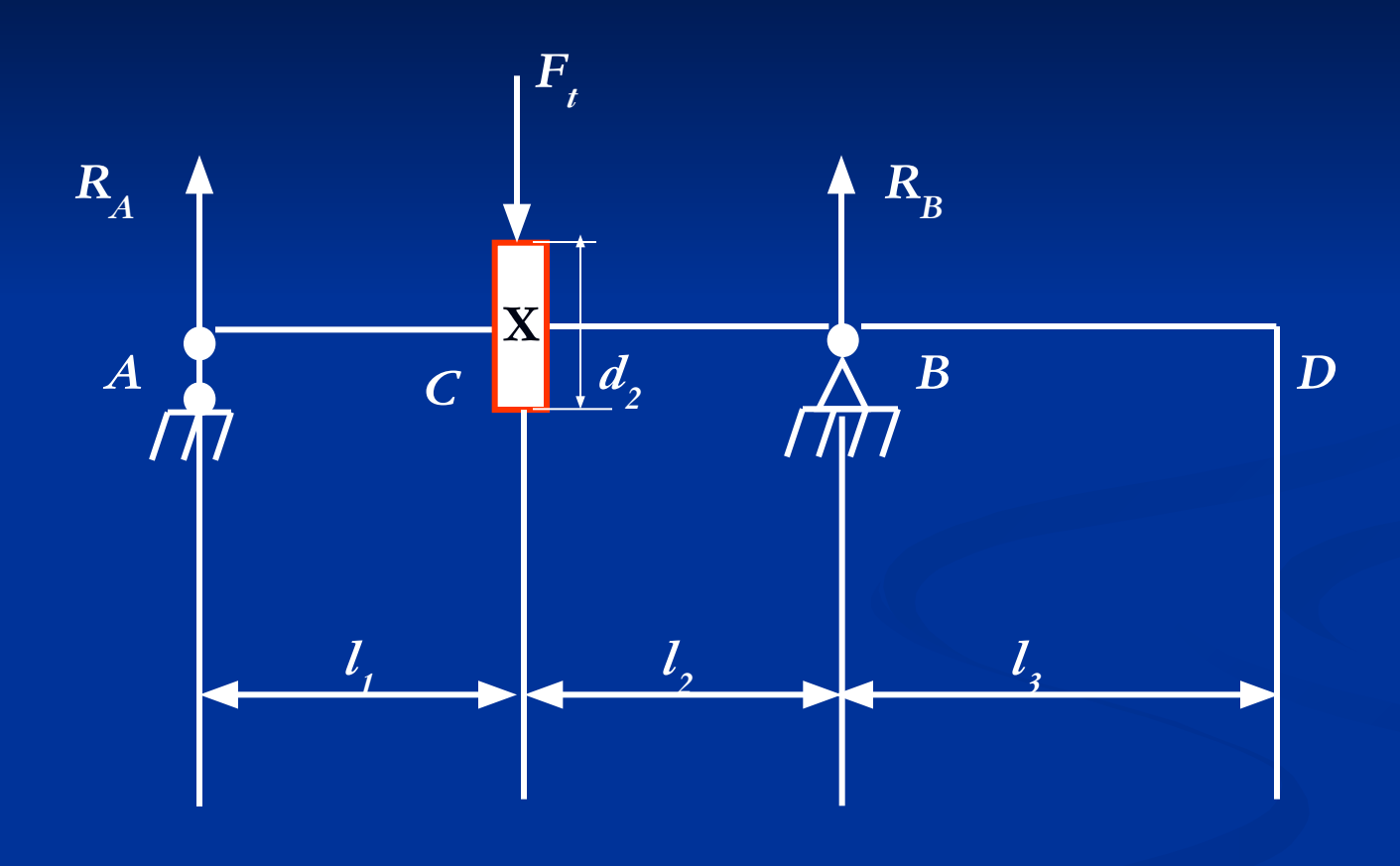
$$\sum R_y = \theta ; R_{ay} - F_r + R_{by} = 0$$

Если реакции найдены правильно, строим эпюру изгибающих моментов от сил радиальной и осевой:

$$M_{uy} = R_{ay} \cdot l_1$$
, $\mu \cdot M$



1.2.2. Построение эпюр изгибающих моментов в горизонтальной плоскости:



Определение опорных реакций от тангенциальной силы $F_{ec{t}}$:

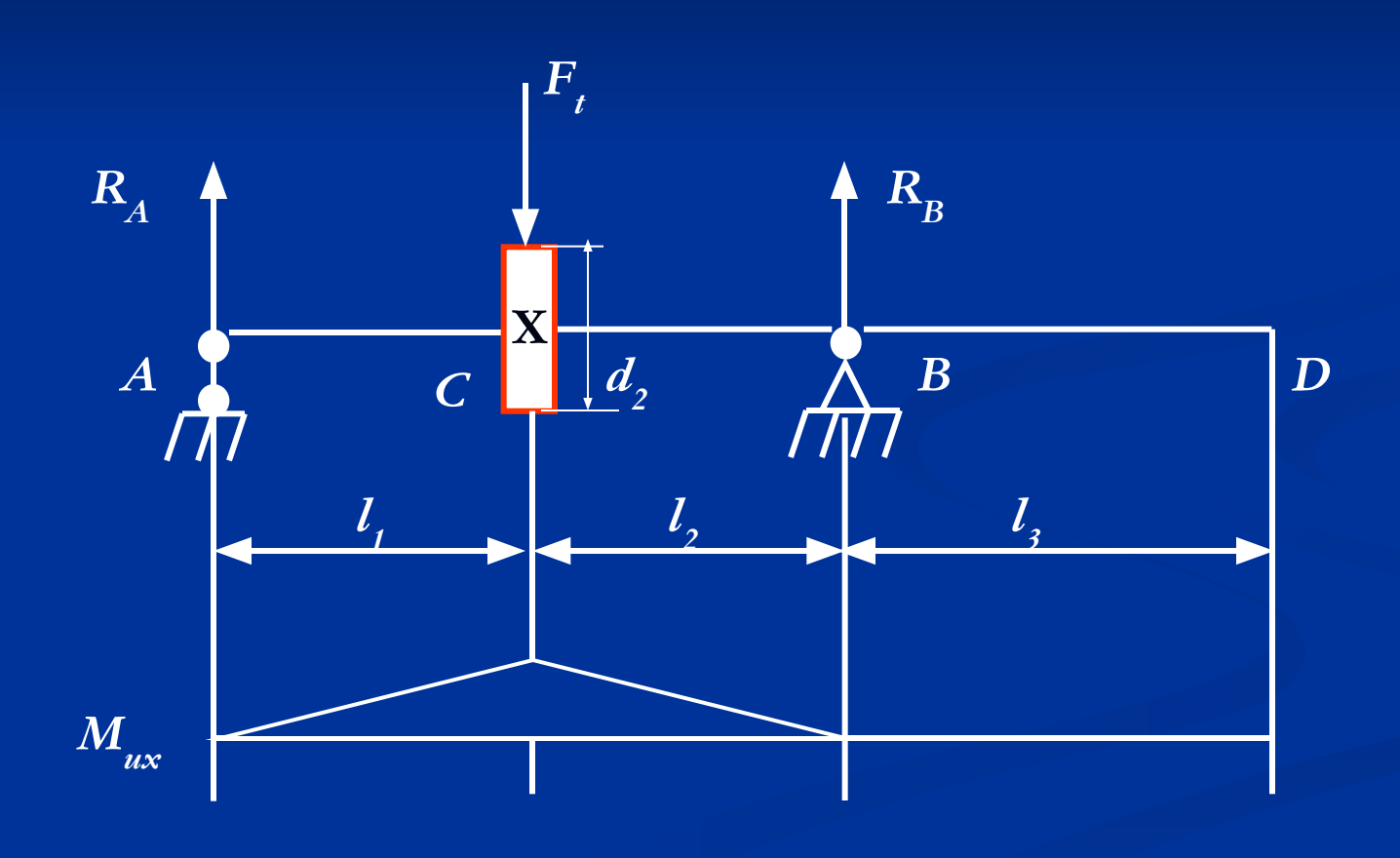
$$\begin{split} \sum M_{B} &= 0; \\ R_{ax} \cdot (l_{1} + l_{2}) - F_{t} \cdot l_{2} &= 0; \\ R_{ax} &= \frac{F_{t} \cdot l_{2}}{(l_{1} + l_{2})}, \mu; \\ \sum M_{A} &= 0; \\ R_{bx} \cdot (l_{1} + l_{2}) - F_{t} \cdot l_{1} &= 0; \\ R_{bx} &= \frac{F_{t} \cdot l_{1}}{(l_{1} + l_{2})}, \mu; \\ R_{ax} &= R_{bx} \end{split}$$

Проверяем правильность определения реакций:

$$\sum R_x = 0$$
; $R_{ax} - F_t + R_{bx} = 0$

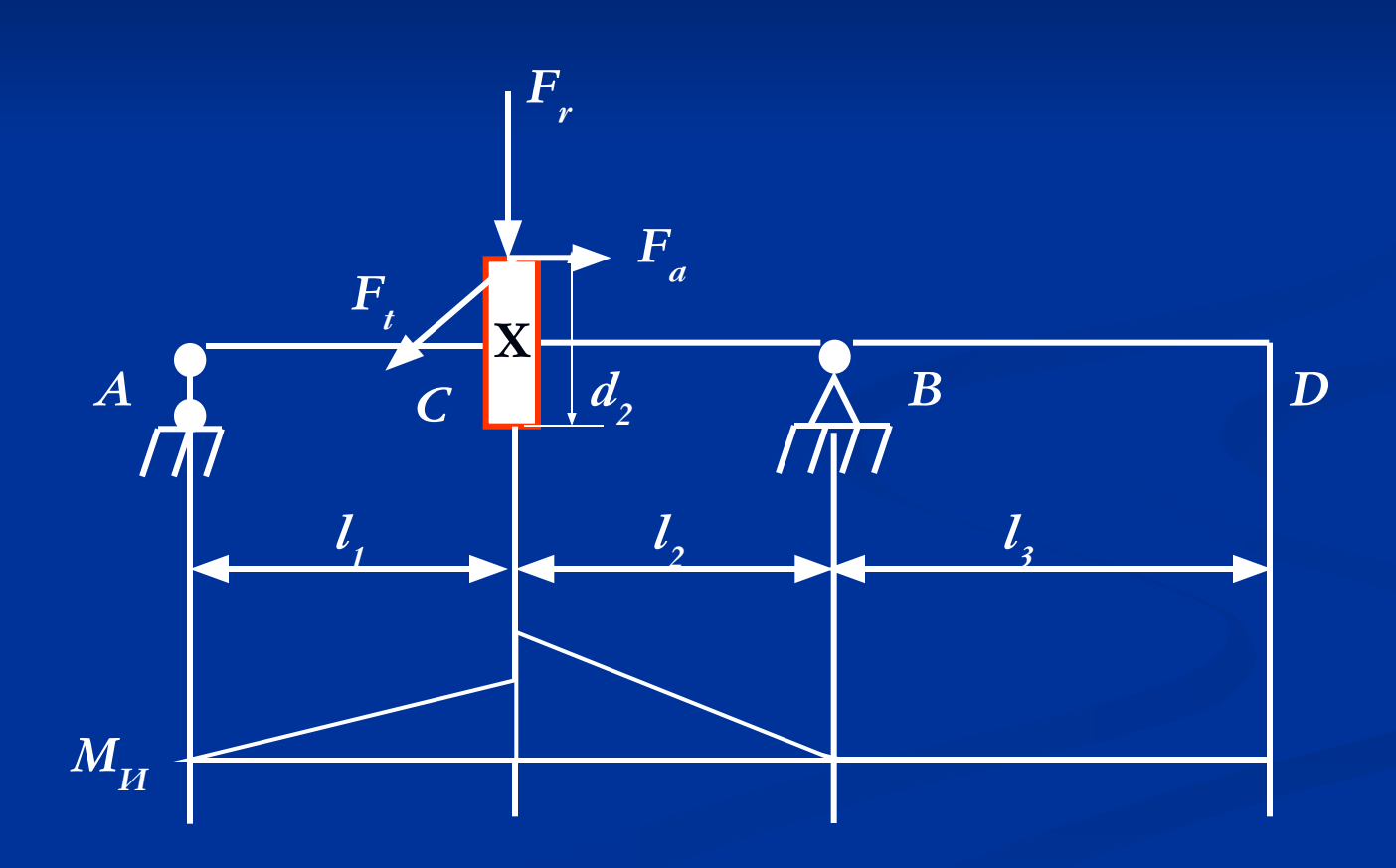
Если реакции найдены правильно, строим эпюру изгибающих моментов от тангенциальной силы:

$$M_{ux} = R_{ax} \cdot l_1, \mu \cdot M$$



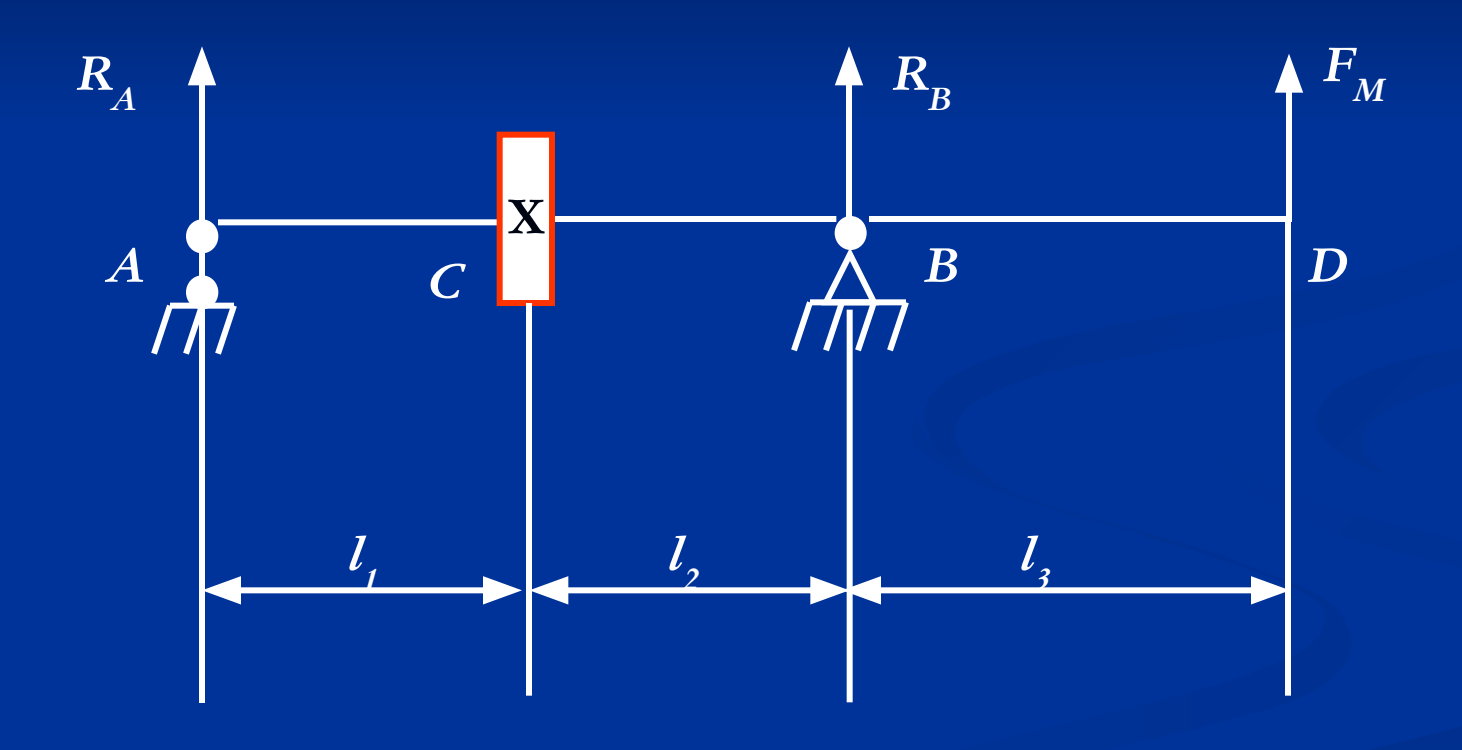
1.2.3. Построение суммарной эпюры изгибающего момента от действия тангенциальной, радиальной и осевой сил:

$$M_{U} = \sqrt{M_{ux}^2 + M_{uy}^2}$$
, $\mu \cdot M$



1.2.4. Построение эпюры изгибающих моментов от действия силы F_{M} :

На консольном участке вала находится полумуфта, которая нагружает вал дополнительно поперечной силой.



Определение опорных реакций от действия силы $F_{\scriptscriptstyle M}$:

$$\begin{split} & \sum M_A = 0; \\ & R_{bM} \cdot \left(l_1 + l_2 \right) + F_M \cdot \left(l_1 + l_2 + l_3 \right) = 0; \\ & R_{bM} = -\frac{F_M \cdot \left(l_1 + l_2 + l_3 \right)}{\left(l_1 + l_2 \right)}, \mu; \end{split}$$

Меняем направление реакции в точке В

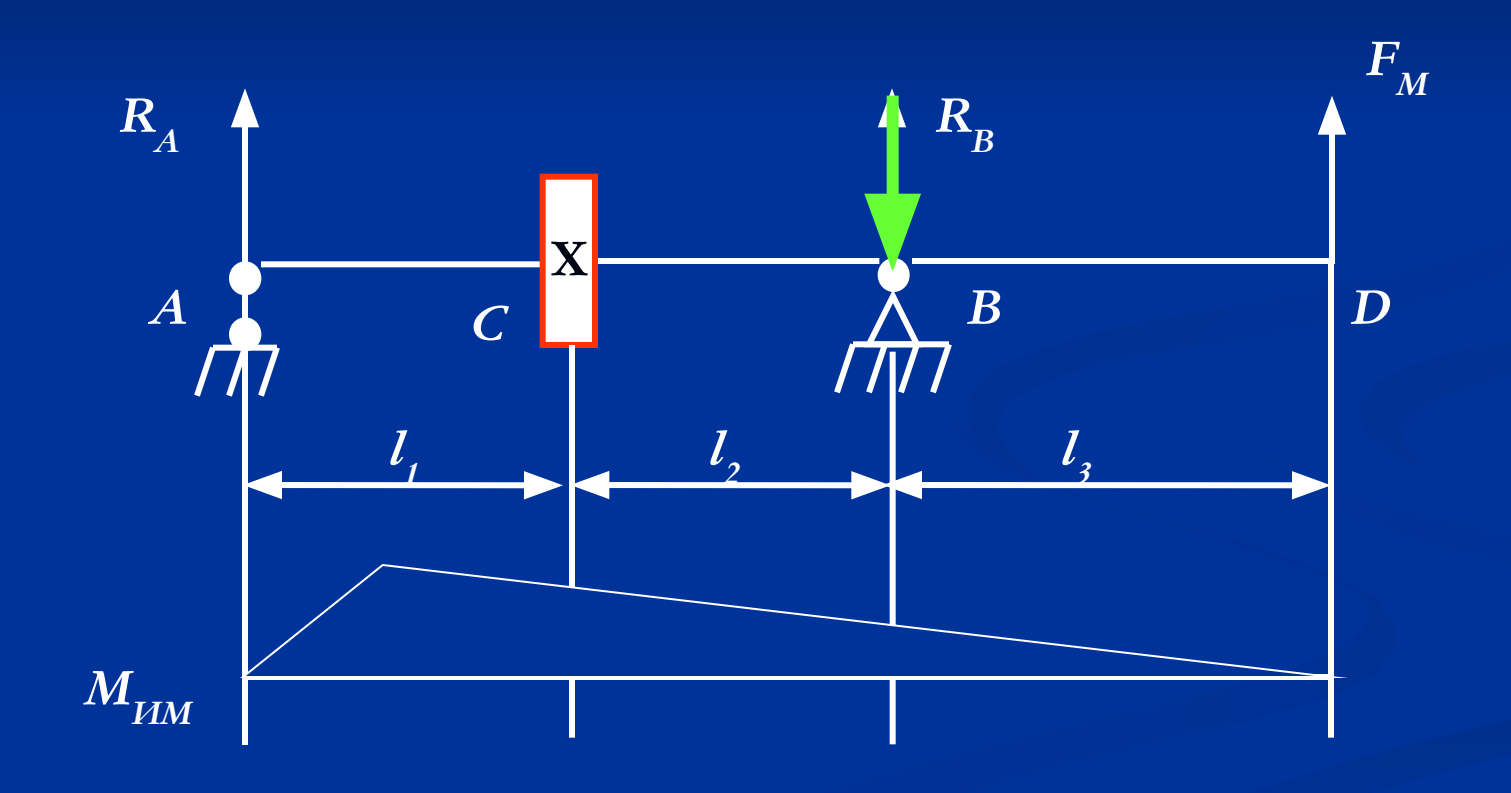
$$\begin{split} & \sum M_B = 0; \\ & -R_{aM} \cdot \left(l_1 + l_2\right) + F_M \cdot l_3 = 0; \\ & R_{aM} = \frac{F_M \cdot l_3}{\left(l_1 + l_2\right)}, \mu; \end{split}$$

Проверяем правильность определения реакций:

$$\sum R_M = 0$$
, $R_{aM} - R_{bM} + F_M = 0$

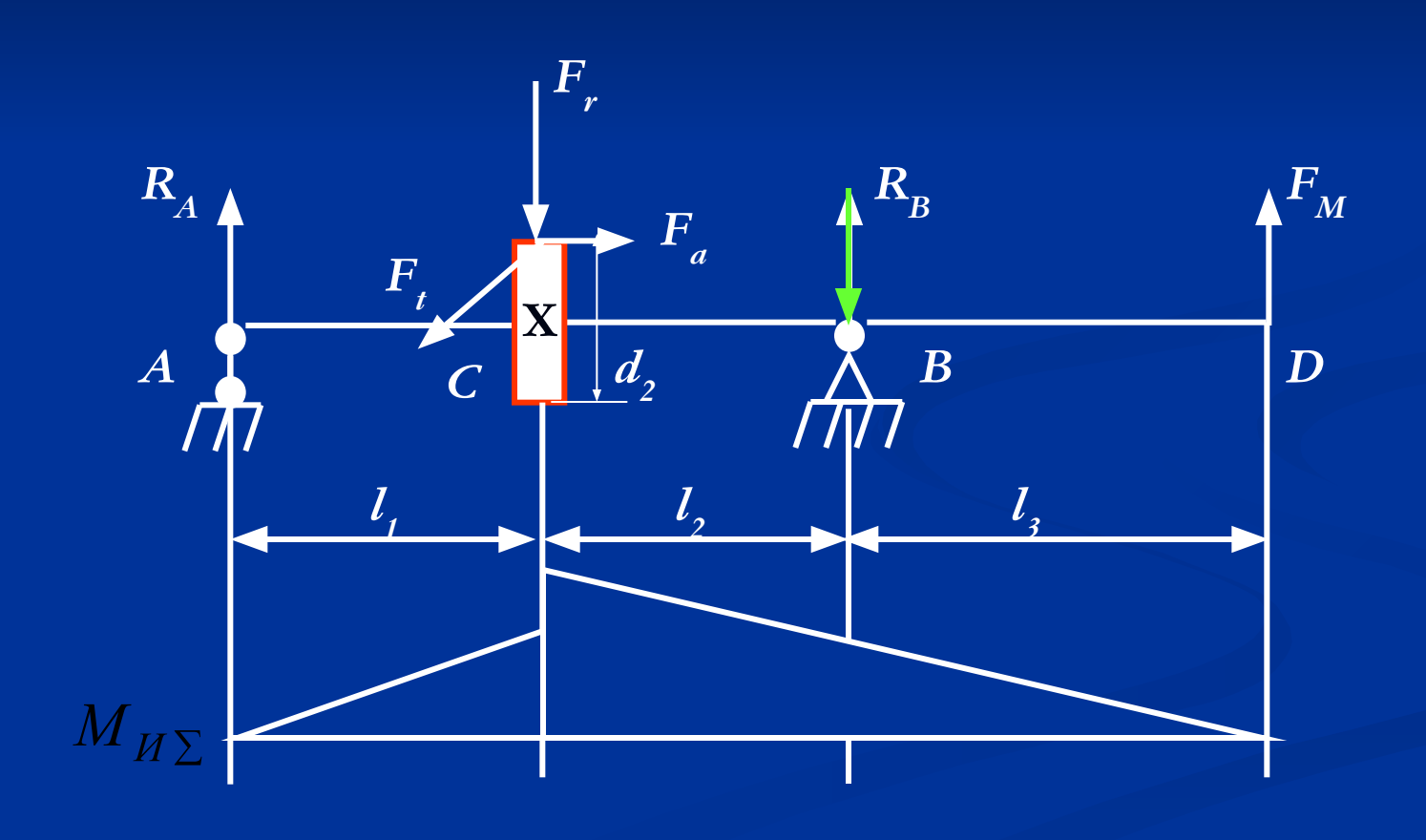
Если реакции найдены правильно, строим эпюру изгибающих моментов от действия силы реакции в муфте:

$$M_{UM} = R_{aM} \cdot (l_1 + l_2), \mu \cdot M$$

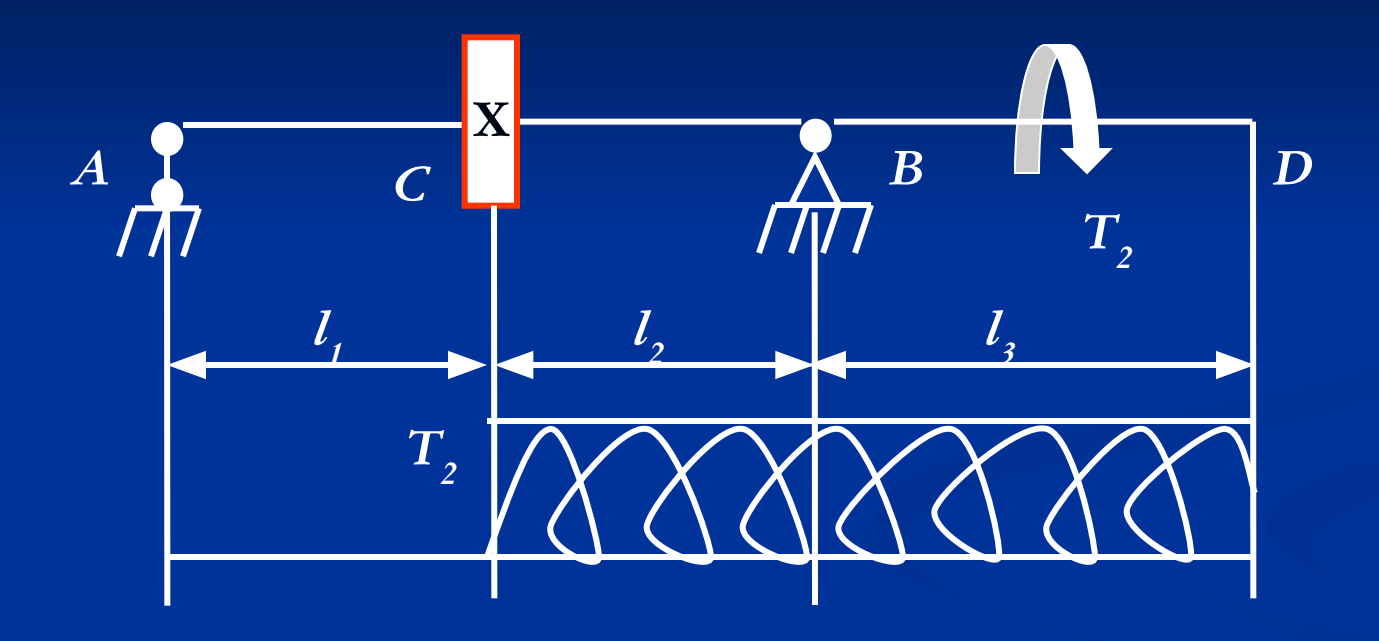


1.2.5. Построение суммарной эпюры изгибающих моментов от действия всех сил:

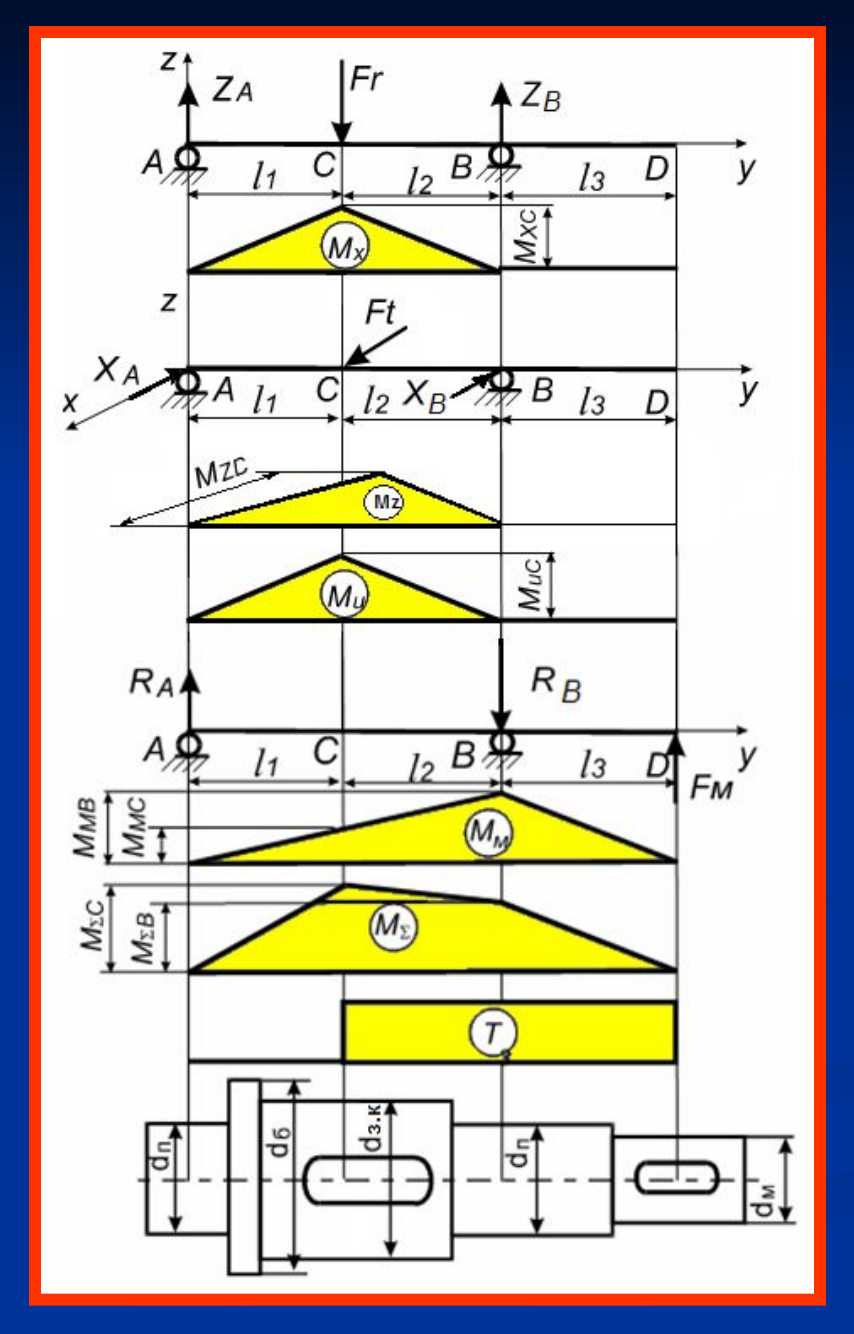
$$M_{II} \sum = M_{II} + M_{IM}$$
, $\mu \cdot M$



1.2.6. Построение эпюры крутящего момента:



Сводная эпюра изгибающих и крутящих моментов



2. Уточненный расчет тихоходного вала редуктора

Уточненный расчет выполняют, как проверочный для определения расчетного коэффициента запаса прочности:

$$S_{II} = \frac{S_{\sigma} \cdot S_{\tau}}{\sqrt{S_{\sigma}^2 + S_{\tau}^2}}$$

Коэффициент запаса прочности по нормальным напряжениям:

$$S_{\sigma} = \frac{\sigma_{-1}}{\frac{k_{\sigma} \cdot \sigma_{a}}{\varepsilon_{\sigma} \cdot \beta} + \psi_{\sigma} \cdot \sigma_{cp}}$$

Коэффициент запаса прочности по касательным напряжениям:

$$S_{\tau} = \frac{\tau_{-1}}{\frac{k_{\tau} \cdot \tau_{a}}{\varepsilon_{\tau} \cdot \beta} + \psi_{\tau} \cdot \tau_{cp}}$$

Пределы выносливости материала вала при симметричных циклах изгиба и кручения, если нет табличных данных, тогда для углеродистых сталей:

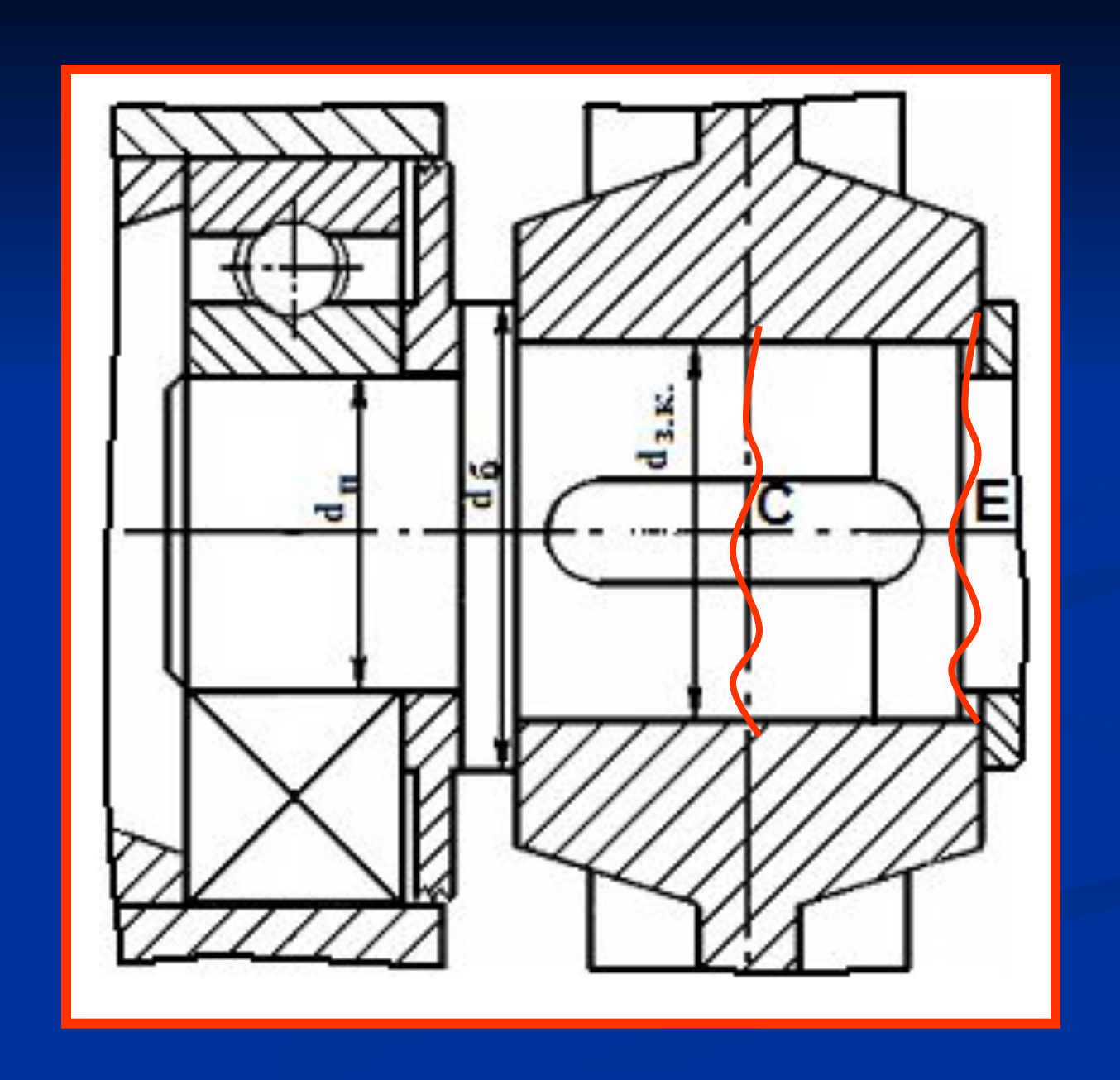
$$\sigma_{-1} \approx 0.43 \cdot \sigma_{B}, M\Pi a$$

$$\tau_{-1} \approx 0.58 \cdot \sigma_{-1}, M\Pi a$$

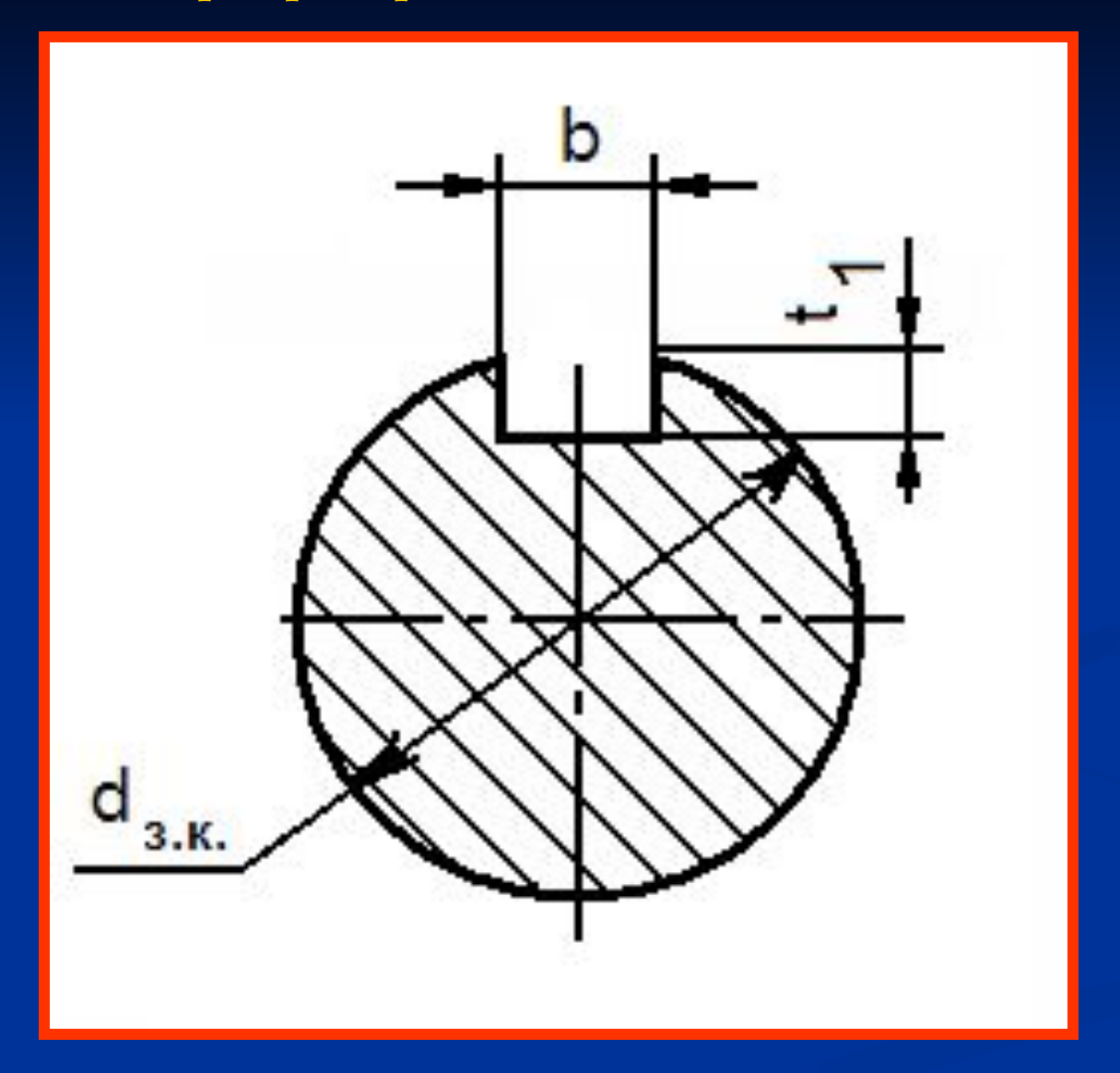
Расчетный коэффициент запаса прочности определяют в опасном сечении. Опасным считается сечение вала, для которого коэффициент запаса прочности имеет наименьшее значение, оно может не совпадать с сечением, где возникают наибольший изгибающий и крутящий моменты, поэтому следует проверять все опасные сечения.

$$[S_{II}] \geq 1.5 \div 4$$

Опасные сечения в точках С и Е



2.1. Проверка прочности сечения в точке С:



Дано:

$$d_{_{_{3,\mathcal{K}}}}=\ldots$$

$$M_{uC} = \dots$$

$$T_2 = \dots$$

$$b = \dots$$

$$t_1 = \dots$$

$$\sigma_{\rm B}^{\rm I} = 520 M \Pi a$$

$$\sigma_m = 280 M\Pi a$$
,

$$\tau_T = 170 M\Pi a$$

$$\sigma_{-1} = 250M\Pi a$$

$$\tau_{-1} = 150 M\Pi a$$

Напряжения изгиба изменяются по симметричному циклу, напряжения кручения – по отнулевому (пульсирующему) циклу:

$$\sigma_{a} = \sigma_{U} = \frac{M_{U}}{W_{U.HETTO}}, M\Pi a;$$

$$\sigma_{cp.} = 0$$

$$\tau_{a} = \tau_{cp.} = \frac{\tau_{K}}{2} = \frac{T_{2}}{2 \cdot W_{K.HETTO}}, M\Pi a.$$

2.1.1. Моменты сопротивления валов при изгибе $W_{u.нетто}$ и кручении W_{κ} в сечении ослабленном шпоночным пазом определяются:

$$W_{u.nemmo} = \frac{\pi \cdot d_{3.\kappa}^{3}}{32} - \frac{b \cdot t_{1} \cdot (d_{3.\kappa} - t_{1})^{2}}{2 \cdot d_{3.\kappa}}, MM^{3}$$

$$W_{\kappa.\text{Hemmo}} = \frac{\pi \cdot d_{3.\kappa}^{3}}{16} - \frac{b \cdot t_{1} \cdot (d_{3.\kappa} - t_{1})^{2}}{2 \cdot d_{3.\kappa}}, \text{MM}^{3}$$

2.1.2. Коэффициенты концентрации напряжений при изгибе K_{σ} и кручении K_{τ} вала, ослабленного шпоночным пазом определяются:

Коэффициент		Предел прочности ов., Мпа									
	600	700	800	900							
Кσ	1,60	1,75	1,80	1,90							
Κτ	1,50	1,60	1,70	1,90							

2.1.3. Масштабные факторы при изгибе ε_{σ} и кручении ε_{τ} для углеродистых сталей определяются из таблицы, в соответствии с пределом прочности и диаметром вала в данном сечении.

Сталь	σ _в , МПа	Е σ ~ Ет при d, мм								
		10	20	30	40	50	70	100	200	
Углеродистая	400 - 500	0,98	0,92	0,88	0,85	0,82	0,76	0,70	0,63	
Углеродистая и легированная	500 - 800	0,97	0,89	0,85	0,81	0,78	0,73	0,68	0,61	
Легированная	800 - 1200	0,95	0,86	0,81	0,77	0,77	0,74	0,65	0,59	
Легированная	1200 - 1400	0,94	0,83	0,77	0,73	0,70	0,66	0,62	0,57	

2.1.4. Коэффициент β , зависящий от степени шероховатости поверхности (способ обработки) определяется по таблице, для качественных поверхностей способ обработки шлифование:

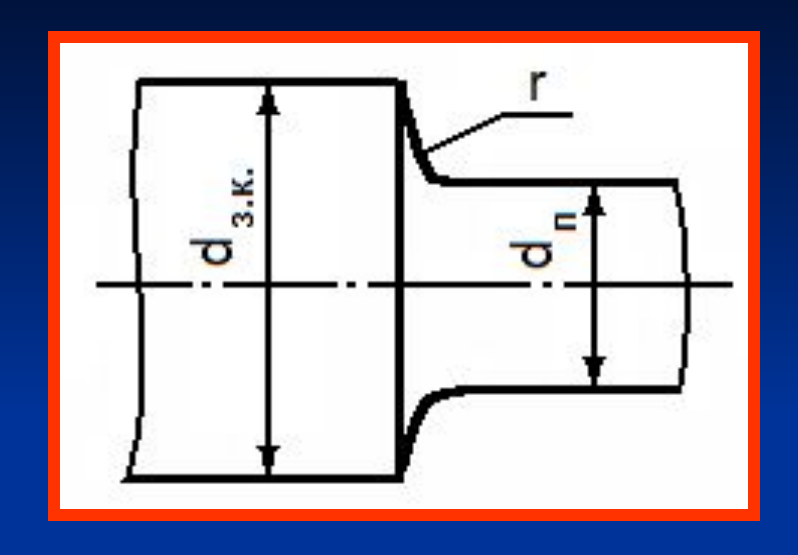
Способ обработки	Значения В при ов, Мпа							
Chocoo copaconar	400 - 500	600 - 900	1000 - 1200					
Без обработки	0,75	0,65	0,45					
Шлифование	1	1	1					
Обтачивание	0,95	0,9	0,8					
Обдирка	0,85	8,0	0,65					
Закалка с нагревом токами высокой частоты	<u> </u>	1,5-2,8	1,3 - 2,2					
Аз от ировани е		\$ <u>2</u> };	1,1 - 2,1					
Цементация	1,8 - 3	9—8	5 - 2					

2.1.5. Коэффициенты, зависящие от соотношения пределов выносливости при симметричном и пульсирующем циклах напряжений ψ_{σ} и ψ_{τ} , выбирают в соответствии с маркой материала:

$$\psi_{\sigma} = 0$$
,15 - углеродистая сталь $\sigma_{\varepsilon} = 350...550$ МПа, $\psi_{\sigma} = 0$,2 - углеродистая сталь $\sigma_{\varepsilon} = 650...750$ МПа, $\psi_{\sigma} = 0$,25...0,3 - легированная сталь, $\psi_{\tau} = 0$,05 - углеродистая сталь, $\psi_{\tau} = 0$,1 - легированная сталь,

Подставляем значения в формулы, расчетное значение коэффициента запаса прочности сравниваем с допускаемым, если условие выполняется, тогда прочность вала в данном сечении обеспечена.

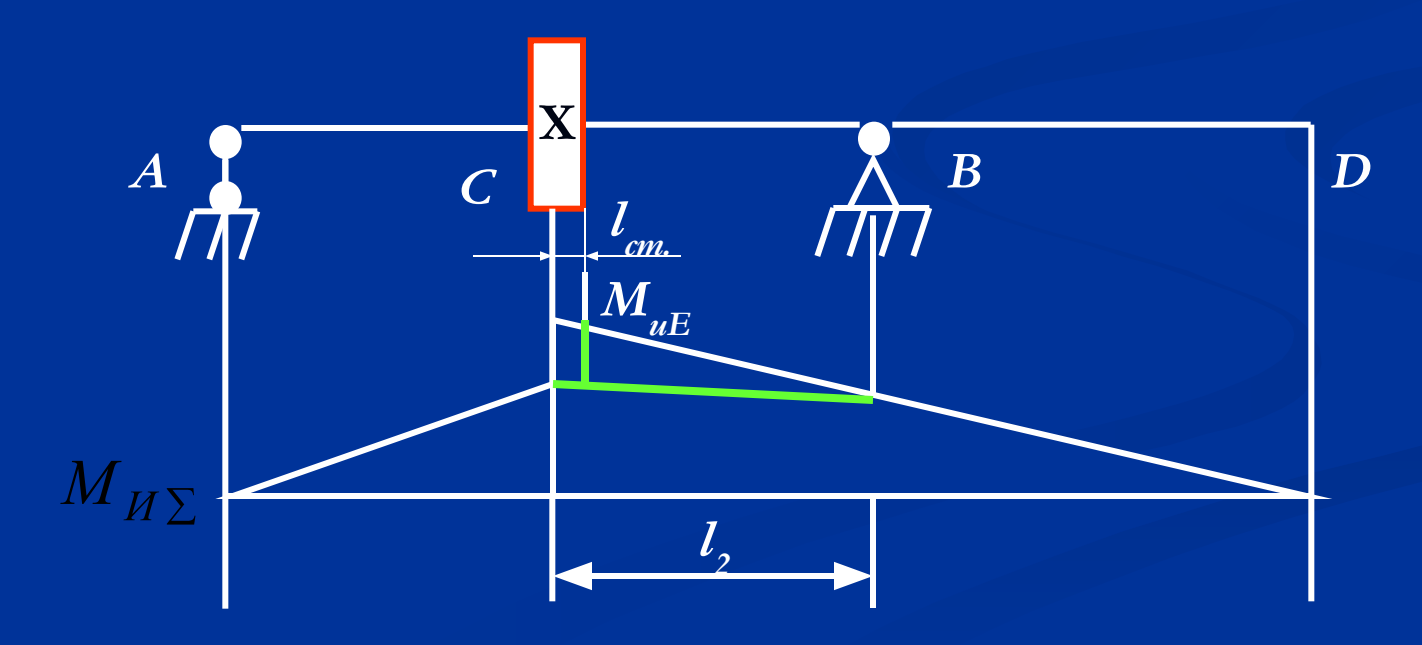
2.2. Проверка прочности сечения в точке Е:



Дано:

$$d_{n} = \dots$$
 $r =$
 $\sigma_{B} = 520M\Pi a,$
 $\sigma_{m} = 280M\Pi a,$
 $\sigma_{m} = 170M\Pi a,$
 $\sigma_{m} = 170M\Pi a,$
 $\sigma_{m} = 170M\Pi a,$
 $\sigma_{m} = 150M\Pi a,$

$$r \approx 0.4 \cdot (d_{3.\kappa} - d_n)$$



Напряжения изгиба изменяются по симметричному циклу, напряжения кручения – по отнулевому (пульсирующему) циклу:

$$\sigma_{a} = \sigma_{U} = \frac{M_{U}}{W_{U.HETTO}}, M\Pi a;$$

$$\sigma_{cp.} = 0$$

$$\tau_{a} = \tau_{cp.} = \frac{\tau_{K}}{2} = \frac{T_{2}}{2 \cdot W_{K.HETTO}}, M\Pi a.$$

2.2.1. Моменты сопротивления валов при изгибе $W_{u.nemmo}$ и кручении W_{κ} для сплошного круглого сечения определяются:

$$W_{u.nemmo} = \frac{\pi \cdot d_{3.\kappa}^{3}}{32}$$
, mm^{3}

$$W_{\kappa.nemmo} = \frac{\pi \cdot d_{3.\kappa}^{3}}{16}, MM^{3}$$

2.2.2. Коэффициенты концентрации напряжений при изгибе K_{σ} и кручении K_{τ} вала, с галтелью определяются:

D	r		Ko	приσ		Κτ σε	, Мпа	1			
d	\overline{d}	≤ 500	600	700	800	900	≥1000	≤700	800	900	≥ 1000
	0	2,32	2,5	2,71	15-0	1 - 1 1	S 04	1,52	1,63	1,72	1,83
	0,02	1,84	1,96	2,08	2,2	2,35	2,5	1,36	1,41	1,45	1,50
	0,04	1,60	1,66	1,69	1,75	1,81	1,87	1,24	1,27	1,29	1,32
<11	0,06	1,51	1,51	1,54	1,54	1,60	1,60	1,18	1,20	1,23	1,24
≤1,1	0,08	1,40	1,40	1,42	1,42	1,46	1,46	1,14	1,16	1,18	1,19
	0,10	1,34	1,34	1,37	1,37	1,39	1,39	1,11	1,13	1,15	1,16
Į,	0,15	1,25	1,25	1,27	1,27	1,30	1,30	1,07	1,08	1,09	1,11
Ī	0,20	1,19	1,19	1,22	1,22	1,24	1,24	1,05	1,06	1,07	1,09
	0	2,85	3,10	3,39	12-12-5		-	1,85	2,04	2,18	2,37
	0,02	2,18	2,34	2,51	2,68	2,89	3,10	1,59	1,67	1,74	1,81
8	0,04	1,84	1,92	1,97	2,05	2,13	2,22	1,39	1,45	1,48	1,52
>1,1-1,2	0,06	1,71	1,71	1,76	1,76	1,84	1,84	1,30	1,33	1,37	1,39
,*,*	0,08	1,56	1,56	1,59	1,59	1,64	1,64	1,22	1,26	1,30	1,31
8	0,10	1,48	1,48	1,51	1,51	1,54	1,54	1,19	1,21	1,24	1,26
8	0,15	1,35	1,35	1,38	1,38	1,41	1,41	1,11	1,14	1,15	1,18
8	0,20	1,27	1,27	1,30	1,30	1,34	1,34	1,08	1,10	1,12	1,15
	0	3,20	3,50	3,85	_	_	_	2,15	2,40	2,60	2,85
	0,02	2,40	3,60	2,80	3,0	3,25	3,50	1,80	1,90	2,0	2,10
	0,04	2,0	2,10	2,15	2,25	2,35	2,45	1,53	1,60	1,65	1,70
>1,2-2	0,06	1,85	1,85	1,90	1,90	2,0	2,0	1,40	1,45	1,50	1,53
- 1,2-2	0,08	1,66	1,66	1,70	1,70	1,76	1,76	1,30	1,35	1,40	1,42
Į,	0,10	1,57	1,57	1,61	1,61	1,64	1,64	1,25	1,28	1,32	1,35
Į.	0,15	1,41	1,41	1,45	1,45	1,49	1,49	1,15	1,18	1,20	1,24
	0,20	1,32	1,32	1,36	1,36	1,40	1,40	1,10	1,14	1,16	1,20

2.2.3. Масштабные факторы при изгибе ε_{σ} и кручении ε_{τ} для углеродистых сталей определяются из таблицы, в соответствии с пределом прочности и диаметром вала в данном сечении.

Сталь	σ _в , МПа	Е σ ~ Ет при d, мм								
		10	20	30	40	50	70	100	200	
Углеродистая	400 - 500	0,98	0,92	0,88	0,85	0,82	0,76	0,70	0,63	
Углеродистая и легированная	500 - 800	0,97	0,89	0,85	0,81	0,78	0,73	0,68	0,61	
Легированная	800 - 1200	0,95	0,86	0,81	0,77	0,77	0,74	0,65	0,59	
Легированная	1200 - 1400	0,94	0,83	0,77	0,73	0,70	0,66	0,62	0,57	

2.2.4. Коэффициент β , зависящий от степени шероховатости поверхности (способ обработки) определяется по таблице, для качественных поверхностей способ обработки шлифование:

Способ обработки	Значения В при ов, Мпа							
Chocoo copaconar	400 - 500	600 - 900	1000 - 1200					
Без обработки	0,75	0,65	0,45					
Шлифование	1	1	1					
Обтачивание	0,95	0,9	0,8					
Обдирка	0,85	8,0	0,65					
Закалка с нагревом токами высокой частоты	85 -0 8	1,5-2,8	1,3 - 2,2					
Аз от ир ов ани е	S-3	\$ <u></u> \$	1,1 - 2,1					
Цемент ация	1,8 - 3	<u> </u>	1 - 8					

2.2.5. Коэффициенты, зависящие от соотношения пределов выносливости при симметричном и пульсирующем циклах напряжений ψ_{σ} и ψ_{τ} , выбирают в соответствии с маркой материала:

$$\psi_{\sigma} = 0$$
,15 - углеродистая сталь $\sigma_{\epsilon} = 350...550$ МПа, $\psi_{\sigma} = 0$,2 - углеродистая сталь $\sigma_{\epsilon} = 650...750$ МПа, $\psi_{\sigma} = 0$,25...0,3 - легированная сталь, $\psi_{\tau} = 0$,05 - углеродистая сталь, $\psi_{\tau} = 0$,1 - легированная сталь,

Подставляем значения в формулы, расчетное значение коэффициента запаса прочности сравниваем с допускаемым, если условие выполняется, тогда прочность вала в данном сечении обеспечена.

Предельные отклонения размеров отверстий и валов (по ГОСТ 2546-82) и колец подшипников качения класса точности О (по СТ СЭВ 773-77).

Интервал размеров	Отверстия					Кольца подшип.					
MM	H7	H11	H14	r 6	n6	р6	h8	f9	h 14	внутр.	наруж.
Св. 18	+21	+130	+520	+15	+28	+35	0	-20	0	-10	-9
до 30	0	0	0	+2	+15	+22	-33	-72	-520	0	0
Св. 30	+25	+160	+620	+18	+33	+42	0	-25	0	-12	-11
до 50	0	0	0	+2	+17	+26	-39	-87	-620	0	0
Св. 50	+30	+190	+740	+21	+39	+51	0	-30	0	-15	-13
до 80	0	0	0	+2	+20	+32	-46	-104	-740	0	0
Св. 80	+35	+220	+870	+25	+45	+59	0	-36	0	-20	-15
до 120	0	0	0	+3	+23	+37	-54	-123	-870	0	0
Св. 120	+40	+250	+1000	+28	+52	+68	0	-43	0	-25	-18
до 180	0	0	0	+3	+27	+43	-63	-143	-1000	0	0
Св. 180	+46	+290	+1150	+33	+60	+79	0	-50	0	** 1 - 2 - 2	-25
до 250	0	0	0	+4	+31	+50	-72	-165	-1150	1 1 - 23	0
Св. 250	+52	+320	+1300	+35	+65	+89	0	-56	0	()	**************************************
до 315	0	0	0	+4	+34	+56	-81	-186	-1300	3-1 5- 11-	
Св. 315	+57	+360	+1400	+40	+73	+98	0	-62	0	(<u>2</u>)	76 <u>-0</u> 5
до 400	0	0	0	+4	+37	+62	-89	-202	-1400		
Св. 400	+63	+400	+1550	+45	+80	+108	0	-68	0	-	33_3
до 500	0	0	0	+5	+40	+68	-97	-223	-1550	. (14 -5)	, s s